

تعیین موقعیت عملگر نهایی یک ربات موازی چهار درجه آزادی با استفاده از روش بینایی ماشین

الناز قنیری^۱، کارشناسی ارشد، مهران محبوب خواه^۲، دانشیار، قادر کریمیان^۳، دانشیار

۱- دانشکده مهندسی مکانیک - دانشگاه تبریز - تبریز - ایران - el-ghanbary92@ms.tabrizu.ac.ir

۲- دانشکده مهندسی مکانیک - دانشگاه تبریز - تبریز - ایران - mahboobkhah@tabrizu.ac.ir

۳- دانشکده مهندسی برق و کامپیوتر - دانشگاه تبریز - تبریز - ایران - karimian@tabrizu.ac.ir

چکیده: مکانیسم‌های موازی به دلیل دقت و سفتی بالاتر نسبت به ربات‌های سری، کاربردهای زیادی دارند. تضمین دقت حرکتی آن‌ها، نیازمند اندازه‌گیری موقعیت و جهت‌گیری عملگر نهایی ربات و انجام کالیبراسیون سینماتیکی ربات است. از میان انواع ابزارهای دقیق اندازه‌گیری، روش بینایی ماشین، دارای مزایایی نظری هزینه کم، کاربرد آسان و دقت نسبتاً مناسب است. در این پژوهش، یک سامانه اندازه‌گیری بر پایه علم بینایی ماشین برای اندازه‌گیری موقعیت و جهت‌گیری سکوی متحرک یک ربات موازی چهار درجه آزادی، در محیط نرم‌افزاری متلب، طراحی شده است. ابزار اندازه‌گیری، یک دوربین استریو می‌باشد. کالیبراسیون دوربین با جعبه‌ابزار متلب انجام شده است. یک هدف متناشی به عنوان ویژگی تصویر در اندازه‌گیری استفاده می‌شود. با تصویربرداری از موقعیت‌های سکو و پردازش تصاویر در سامانه طراحی شده در نرم‌افزار متلب، ماتریس دوران و بردار جابجایی موقعیت‌ها به دست آمده و موقعیت دقیق عملگر نهایی ربات مشخص می‌شود. برای بررسی صحت و دقت سامانه اندازه‌گیری پیشنهادی، از روش دقیق متداول دیگری که در آن، سنجه و ساعت اندازه‌گیری به کار می‌رود نیز استفاده شده است. با توجه به ماهیت روش بینایی ماشین، نتایج حاصل از آن در این پژوهش از دقت قابل قبولی برخوردار بوده و در صورت تقویت سخت‌افزارهای مورداستفاده، می‌توان به دقت‌های بالا نیز دست یافت.

واژه‌های کلیدی: مکانیسم موازی، بینایی ماشین، استریو، استخراج ویژگی، ماتریس چرخش، بردار جابجایی

Pose determination of a 4DOF parallel robot end effector using machine vision

E. Ghanbary¹, Master of science, M.Mahboobkhah², Associate professor, G.Karimian³, Associate professor

1- Faculty of Mechanical Engineering, University of Tabriz, Tabriz, Iran, Email: el-ghanbary92@ms.tabrizu.ac.ir

2- Faculty of Mechanical Engineering, University of Tabriz, Tabriz, Iran, Email: mahboobkhah@tabrizu.ac.ir

3- Faculty of Electrical and Computer Engineering, University of Tabriz, Tabriz, Iran, Email: karimian@tabrizu.ac.ir

Abstract: Parallel mechanisms are more utilized, because of their extra precision and stiffness in comparison with serial mechanisms. Measuring position and orientation (pose) of parallel robot end effector and performing kinematic calibration, is a guaranty for, moving precision of these robots. Through different measurement devices, machine vision has advantages such as low cost, simplicity in use and rather appropriate precision. In this research, in order to measure pose of end effector of a 4-DOF (degree of freedom) parallel robot, a vision-based measurement system, is designed and implemented in Matlab software. The laboratory device is a stereo camera. Camera calibration is carried out in Matlab. A triangular shape is used as feature on the robot end effector. By processing the images acquired from pose of end effector, in designed measurement system, rotation matrix and translation vector are obtained and the exact position of the end effector is revealed. For investigating precision and accuracy of proposed measurement system, a conventional measurement method with the help of gauge block and indicator, is used. According to the nature of machine vision, the results achieved in this examination, are acceptable; although better precision can be attained by improving devices used in this research.

Keywords: Parallel Mechanism, machine vision, stereo, feature extraction, rotation matrix, translation vector.

تاریخ ارسال مقاله: ۹۴/۹/۱۹

تاریخ اصلاح مقاله: ۹۴/۱۱/۲۳

تاریخ پذیرش مقاله: ۹۴/۱۲/۲۰

نام نویسنده مسئول: مهران محبوب خواه

نشانی نویسنده مسئول: ایران - تبریز - بلوار ۲۹ بهمن - دانشگاه تبریز - دانشکده مهندسی مکانیک

۱- مقدمه

اندازه‌گیری به صورت محلی امکان‌پذیر است و باید یک قید کالیبراسیون دقیق در محیط ربات، به عنوان مبنای سکویی ربات، قرار داشته باشد. در مقابل، روش دوربین ثابت، می‌تواند در ربات‌های موازی به کار رود که در آن، دوربین طوری در فضای حرکتی ربات قرار داده می‌شود که بتواند دید مناسبی از ویژگی‌های مورد نظر روی عملگر نهایی ربات داشته باشد. تنها محدودیت این روش، مصالحه‌ای است که باید بین دقت و میدان دید دوربین داشت (به طوری که دقت با کاهش فاصله کانونی دوربین افزایش می‌یابد اما از طرفی میدان دید نیز کاهش می‌یابد). اگر از یک دوربین استفاده شود، پردازش تصویر سریع‌تر انجام می‌شود، اما این روش در تخمین عمق عملگر نهایی نسبت به دوربین، محدودیت دارد. در استفاده از دو دوربین، عمق به طور مستقیم قابل اندازه‌گیری می‌باشد.

در مراحل اندازه‌گیری، می‌توان از شکل هندسی بازو و یا مفاصل ربات به عنوان یک ویژگی از تصویر که قابل شناسایی و تعقیب باشد استفاده کرد، اما آنچنان‌جایی که در ربات‌های موازی امکان سد شدن مسیر دید دوربین وجود دارد، بهترین راه، استفاده از نشانه‌گذاری روی عملگر نهایی ربات می‌باشد. هر چند استفاده از سه نقطه روی عملگر نهایی ربات برای تشخیص موقعیت و جهت‌گیری عملگر کافی می‌باشد، اما استفاده از سه نقطه به دلیل به وجود آمدن نویز و خطای اندازه‌گیری اشکال دارد. از این‌رو بهتر است چهار نقطه یا بیش‌تر به کار برد شوند؛ تعداد نقاط بیش‌تر خطای را کاهش می‌دهد، اما افزایش زمان محاسبات را به همراه خواهد داشت [۲]. در مرجع [۱۲] از بینایی استریو (دو دوربین) در تعیین محل بازوی مکانیکی یک ربات سری استفاده شده است. دو دوربین با اجزاء حساس به نور از نوع سی‌موس^۰ و تفکیک‌پذیری $480 \times 480 \times 40$ پیکسل، به عنوان یک دوربین استریو، استفاده شده‌اند. موقعیت سه نقطه روی بازوی ربات به کمک روش مثلث‌بندی، اندازه‌گیری شده است. با روش مثلث‌بندی، محاسبه عمق یا بعد سوم یک نقطه در فضای سه‌بعدی، با یافتن نقاط متناظر در دو تصویر استریو و سپس محاسبه اختلاف مکان^۱ (متناسب با عکس عمق)، امکان‌پذیر است. در این مقاله برای تخمین جهت‌گیری نیز از موقعیت‌های اندازه‌گیری شده است. برای ربات سری در فاصله ۴۰۰ میلی‌متر از دوربین، دقت ۷ اندازه‌گیری یک میلی‌متر و در آزمایش روی یک ربات چرخ‌دار، دقت ۷ میلی‌متر گزارش شده است. جائز و همکارانش [۱۳] مکان سکویی متحرک یک ربات با فضای کاری ۱۰۰ میلی‌متر مکعب را با اندازه‌گیری بر پایه بینایی دونما تعیین کردند. دو دوربین تک‌رنگ با تفکیک‌پذیری 1024×1024 پیکسل، به صورت عمود نسبت به هم، رو به یک هدف مشکی رنگ با سه توپ سفید روی آن، تنظیم شده است. ابتدا کل تصویر پردازش شده و با تعریف یک آستانه‌گیر درجه خاکستری، پیکسل‌های تصویر به دو بخش سیاه و سفید تقسیم می‌شوند و سپس عمل یافتن توپ‌ها از بین نواحی سفیدرنگ، با محاسبه ضریب گردی بر اساس محیط و مساحت، صورت می‌پذیرد؛ اگر این ضریب، بالاتر از ۰/۸۵ باشد با آن جزء به صورت هدف سفید برخورد شده و سایر مراحل

مکانیسم‌های موازی محبوبیت فراوانی در صنعت و علوم مهندسی نظیر ماشین کاری، علم اندازه‌گیری، تجهیزات پزشکی پیدا کرده‌اند. این مکانیسم‌ها ساختار سینماتیکی حلقه بسته‌ای هستند که دقت و سفتی بالا و توانایی تحمل بارهای زیادی را دارند [۱]. تعداد زیاد اتصالات و مفاصل غیرفعال، عملکرد این مکانیسم‌ها را تحت الشاع قرار می‌دهند. این مشکل توسط کالیبراسیون سینماتیکی ساختار، قابل جبران است که مرحله مهم این پرسه، تعیین مکان (موقعیت^۲ و جهت‌گیری^۳) سکوی متحرک ربات به کمک ابزار اندازه‌گیری خارجی است [۲]. لیزر، زاویه‌سنج مهندسی، شبیه‌سنج، ماشین اندازه‌گیری مختصات، سیستم دو توپ و میله [۳-۷]، ابزارهای اندازه‌گیری متداولی در این زمینه هستند که در این میان، روش اندازه‌گیری مبتنی بر بینایی^۴ که روشی غیرتomasی با هزینه پایین و در عین حال با تنظیمات و کاربرد آسان است، در ده سال اخیر به عنوان یک ابزار استاندارد در علم اندازه‌گیری تثبیت شده است و روش ساده‌تر و البته با دقت نسبتاً مناسبی می‌باشد [۹، ۸].

استفاده از بینایی استریو حوزه کاری گستره‌ای دارد، برای مثال در مرجع [۱۰] برای کاربرد جراحی از یک سامانه واقعیت‌افزوده و از بینایی استریو استفاده شده است که در آن اطلاعات حاصل از تعیین موقعیت سه‌بعدی سه نشانه دایروی که روی عضو مورد آزمایش قرار دارند، به تصاویر ام‌آرآی آن عضو افزوده می‌شود و درنهایت تصاویر حاصل از انتساب مدل سه‌بعدی با تصاویر حقیقی، در جراحی به کار می‌رود. برای استخراج اطلاعات سه‌بعدی و ساخت مدل سه‌بعدی، از یک دوربین استریو با تفکیک‌پذیری 1024×768 پیکسل استفاده شده و با استفاده از روابط مربوط به استریو موقعیت سه‌بعدی نشانه‌ها تعیین شده و مدل سه‌بعدی ساخته می‌شود. در مرجع [۱۱]، تخمین مکان بازیکنان فوتیال در زمین با دوربین‌های کالیبره‌نشده، بررسی شده است. برای کالیبراسیون، استخراج نقاط مناسبی از زمین فوتیال که از تقاطع بهترین دسته خطوط که از تبدیل هاف به دست می‌آیند، مدنظر است؛ رابطه‌ای بین مختصات دوی بعدی دو تصویر فرضی از زمین فوتیال به دست می‌آید. در مرحله بعد با عمود فرض کردن یکی از دوربین‌ها نسبت به زمین، رابطه‌ای نیز برای مختصات تصویر دوربین مذکور، بر حسب اندازه‌های استاندارد زمین فوتیال به دست می‌آید که با جایگذاری آن در رابطه اولیه، رابطه نهایی بین مختصات دوی بعدی تصویر دوربین (با هر زاویه دلخواه) و مختصات سه‌بعدی نقاط در زمین فوتیال، به دست می‌آید؛ با محاسبه خطای بین، خطوط تبدیل یافته با این رابطه و خطوطی که از تصویر استخراج شده‌اند، دسته خطوط با کمترین خطای بعنوان بهترین دسته برای کالیبراسیون انتخاب می‌شوند. از نظر متحرک یا ثابت بودن دوربین، دو نوع تنظیمات وجود دارد؛ در نوع متحرک، یک یا دو دوربین (با مشخصات اسمی نوری یکسان) روی سکوی متحرک ربات قرار می‌گیرند، که به اصطلاح به سیستم چشم-روی-دست^۵ مشهور است. این روش، تخمین دقیقی از موقعیت سکو می‌دهد، اما به دلیل حرکت دوربین با سکوی ربات، تنها

سی سی دی^۹ و تفکیک پذیری 492×484 پیکسل، به عنوان دوربین استریو برای استفاده در پژوهش آنها، کالیبره و تنظیم شدن. دنبال کردن سکو، با استخراج شکل دایروی آن با استفاده از الگوریتم تشخیص دایره اسکاراموز [۱۷]، که در آن پردازش تصویر، روی نقشه لبه‌های تصویر انجام می‌شود و تنها آن نقاط از نقشه لبه که قویاً کاندیدی برای کانتور دایره هستند در نظر گرفته می‌شوند، انجام شده است. تطابق تصاویر استریو توسط الگوریتم مجموع تقاضات مربع انجام شده و دقت گزارش شده نیز $2/18$ میلی‌متر است.

در مرجع [۱۸]، بینایی استریو در کالیبراسیون سینماتیکی یک ربات صنعتی سری به کار رفته است که در آن از روش چشم-روی-دست استفاده شده و دو دوربین از نوع سی سی دی، با محورهای نوری متعامد روی بازوی ربات قرار داده شده‌اند. نقطه تقاطع محورهای نوری به عنوان نقطه مرکزی ابزار در نظر گرفته می‌شود. در فضای کاری ربات، کره‌هایی قرار داده شده‌اند که مکان سه‌بعدی آنها طی پرسه کالیبراسیون، با ابزار اندازه‌گیری بینایی اندازه‌گیری می‌شود. برای وضعیت‌های مختلفی از بازوی ربات، نقطه مرکزی ابزار به مکانی که کره کالیبراسیون قرار دارد، هدایت شده و سپس اندازه‌گیری موقعیت سه‌بعدی توسط سیستم بینایی انجام شده و از این طریق مکان واقعی بازوی ربات تعیین می‌شود. دوربین‌های مورداستفاده، دقت بالایی دارند؛ چراکه هر پیکسل تصویر، 0.05×0.05 میلی‌متر (از جهان واقعی) را نگاشت می‌کند. دقت موقعیت‌دهی $1/29$ میلی‌متر گزارش شده است و گفته شده که جهت‌گیری در پژوهش بعدی بررسی می‌شود.

در اینجا ذکر دو نکته ضروری می‌نماید؛ اولاً با سوار شدن سیستم اندازه‌گیری روی ربات، علاوه‌بر تأثیر وزن تجهیزات در نتایج کالیبراسیون، مانعی در حرکت ربات به وجود می‌آید که همین موضوع امکان به کارگیری سیستم بینایی در کنترل ربات را نخواهد داد. همچنین عدم قرار دادن دو دوربین نسبت بهم با دقت کافی، چالش دیگری است که نائل شدن به آن در مقیاس آزمایشگاهی دشوار است، اما در صورت استفاده از دوربین استریوی که در کارخانه و با دقت بالا تولید شده است، این چالش برطرف خواهد شد.

هدف از انجام پژوهش حاضر نیز، طراحی یک سامانه اندازه‌گیری بر پایه علم بینایی ماشین، به منظور اندازه‌گیری موقعیت و جهت‌گیری سکویی متحرک یک ربات موازی با چهار درجه آزادی، است؛ به طوری که موقعیت و جهت‌گیری سکویی متحرک در دو مکان مختلف در فضا نسبت بهم، به صورت یک بردار جابجایی و یک ماتریس دوران گزارش شود. در این مقاله یک نمونه کاربردی استفاده از بینایی ماشین در صنعت، یعنی اندازه‌گیری مکان سکویی متحرک ربات، ارائه شده است. این روش، برخلاف روش‌های سنتی، هزینه پایین‌تر و تنظیمات آسان‌تری داشته و نیاز به فرد متخصص برای استفاده از آن نمی‌باشد. برای اندازه‌گیری با استفاده از سامانه طراحی شده، لازم نیست که در تمام مراحل، کنار ربات باشیم بلکه کافی است تصاویر سکو در موقعیت‌های موردنظر را گرفته و هر جا لازم بود آنها را وارد سامانه کرد؛

پردازش و بازسازی سه‌بعدی، روی آنها به عنوان ناحیه مورد علاقه، انجام می‌شود. برای ترکیب اطلاعات دوبعدی کسب شده از دو دوربین، ارتباط بین دوربین‌ها، طی پرسه کالیبراسیون دوربین، تعیین شد. دقت سیستم اندازه‌گیری در این تحقیق $1/55$ میکرومتر گزارش شده است.

در تخمین موقعیت بازوی یک ربات سری برای کالیبراسیون به هنگام آن در مرجع [۱۴] از یک دوربین مستقر روی بازو (چشم-روی-دست) و یک تخته (صفحه) شطرنجی که در مکان مشخصی نسبت به مختصات جهانی قرار گرفته، استفاده شده است. برای تصحیح استخراج نادرست نقاط صفحه، ابتدا گوششها به روش هریس، تشخیص داده شده و سپس خطوط افقی و عمودی تخته، استخراج می‌شوند تا از تقاطع آنها نقاط گوشش به دست آید و سپس آن دسته از نقاط گوشش که به درستی تشخیص داده نشده بودند، تصحیح شوند. در این تحقیق دوربین به روش ژنگ کالیبره شده است و آزمایش‌ها تأثیر زیاد تفکیک‌پذیری دوربین روی دقت نهایی را ثابت کرده‌اند.

ماریک و همکارش [۹] کالیبراسیون خودکار بازوی یک ربات سری را با بینایی استریو انجام دادند. در این تحقیق از یک نشانه مربعی استفاده شده و تناظریابی بر اساس شدت روشتابی پیکسل‌ها، که به آن روش مبتنی بر ناحیه^۷ می‌گویند، انجام شده است. در این روش که حساسیت بالایی به روشنایی محیط دارد، حول نشانه در تصویر چپ، پنجره‌ای در نظر گرفته شده و همبستگی پیکسل‌ها محاسبه می‌شود و برای هر پیکسل تصویر راست نیز همین عمل صورت می‌گیرد. سپس با یک تابع هزینه، تفاوت همبستگی پنجره در تصویر چپ و هر پنجره در تصویر راست محاسبه شده و نقاط متعلق به پنجره‌ها با کمترین مقدار تابع هزینه، به عنوان متناظر معرفی می‌شوند. همچنین آنها، برای انجام تناظریابی با دقت بالا، اندازه بهینه پنجره را برابر با نشانه مربعي گزارش کرند. در مقابل این روش، روش مبتنی بر ویژگی^۸، که در آن از یک ویژگی تصویر به عنوان علامت راهنمای استفاده می‌شود، وجود دارد که این روش حساسیت کمتری به شدت روشنایی و دقت بالاتر و البته پیاده‌سازی مشکل‌تری دارد.

شهرشانی [۱۵] برای محاسبه ماتریس چرخش و بردار جابجایی در دو موقعیت مختلف، از بینایی استریو استفاده کرده است. علائم راهنمای استفاده شده، ویژگی‌های گوشش مانند (سیفت و سورف) می‌باشد. برای اندازه‌گیری، یک دوربین استریو با تفکیک‌پذیری 480×400 پیکسل در دو موقعیت مختلف قرار داده است. مبانی طراحی سامانه، مبانی بینایی استریو بوده و به منظور تخمین بردار جابجایی و ماتریس چرخش از الگوریتم ثنتیک استفاده کرده است. دقت گزارش شده در فاصله 83×83 میلی‌متری، با ویژگی سیفت، $1/9$ میلی‌متر و با ویژگی سورف، $7/5$ میلی‌متر می‌باشد.

در مرجع [۱۶]، برای اندازه‌گیری مسیر سه‌بعدی سکویی متحرک یک ربات موازی با سه درجه آزادی، از سیستم اندازه‌گیری سه‌بعدی (بینایی استریو) استفاده شده و دو دوربین با اجزاء حساس به نور از نوع

صفحه تصویر (نقطه P')، تصویر نقطه مذکور در فضای سه بعدی (P) خواهد بود. در این شکل، چهار دستگاه مختصات بنام "دستگاه مختصات دوربینی"، "دستگاه مختصات صفحه تصویر"، "دستگاه مختصات پیکسلی" و "دستگاه مختصات جهانی" به ترتیب به مرکز O_c , O_p , O_w و O_o نشان داده شده است. مرکز دستگاه مختصات دوربینی (O_c) در مرکز نوری دوربین واقع بوده و محورهای آن، طوری انتخاب می شوند که محور Z عمود بر صفحه تصویر و در امتداد محور نوری دوربین بوده و محورهای X و Y آن موازی صفحه تصویر می باشد. مرکز دستگاه مختصات صفحه تصویر بوده و از برخورد محور نوری با صفحه تصویر به دست می آید. X و Y محورهای این دستگاه مختصاتی دو بعدی بوده که موازی صفحه تصویر می باشند. مرکز دستگاه مختصات پیکسلی می باشد که در سمت چپ و بالای صفحه تصویر واقع است و u و v محورهای این دستگاه مختصات دو بعدی می باشند. اگر لازم باشد تا مختصات سه بعدی نقطه نسبت به یک مبدأ دلخواه، گزارش شود، یک دستگاه مختصاتی در آن، بنام دستگاه مختصات جهانی (O_w) تعریف می شود. نقطه در فضای سه بعدی و P' تصویر آن در صفحه تصویر می باشد. مختصات نقطه P به صورت ماتریسی در دستگاه مختصات دوربین $P_c = [X_c \ Y_c \ Z_c]^T$ و در دستگاه مختصاتی جهانی $P_w = [X_w \ Y_w \ Z_w]^T$ می باشد و مختصات نقطه P' در دستگاه مختصات صفحه تصویر $P' = [x, y]$ و در دستگاه مختصات پیکسلی $[u, v] = P'$ می باشد. f فاصله کانونی دوربین بوده و (u_0, v_0) مختصات مرکز تصویر در دستگاه مختصات پیکسلی می باشد که به نقطه اصلی^{۱۱} معروف است [۱۹]. بهمنظور یافتن اطلاعات سه بعدی نقطه (P)، در فضا با استفاده از تصویر آن (P' ، رابطه بین دستگاه های مختصاتی که در شکل ۱ نمایش داده شده است، در ادامه بیان می شود. ارتباط بین مختصات نقطه در دستگاه مختصاتی دوربین $P_c = [X_c \ Y_c \ Z_c]^T$ و تصویر آن در دستگاه مختصاتی صفحه تصویر $P' = [x, y]$ که با روابط پرسپکتیو (رابطه ۱) ایجاد پیکسلی $[u, v] = P'$ را بیان می کند [۲۰].

$$x = f X_c / Z_c, \quad y = f Y_c / Z_c \quad (1)$$

رابطه ۲ نیز ارتباط بین مختصات تصویر نقطه در دستگاه مختصاتی صفحه تصویر $P' = [x, y]$ و مختصات تصویر نقطه در دستگاه مختصاتی پیکسلی $[u, v] = P'$ را بیان می کند [۲۰].

$$u = x/d_x + u_0, \quad v = y/d_y + v_0 \quad (2)$$

که در آن d_x و d_y اندازه پیکسل های تصویر به ترتیب در جهت افقی و عمودی صفحه تصویر (با واحد mm/pixel) است.

با جایگذاری رابطه ۱ در رابطه ۲ و بازنویسی آن به صورت ماتریسی، رابطه ۳ به دست می آید.

$$Z_c [u \ v \ 1]^T = [K \ 0][P_c \ 1]^T \quad (3)$$

که در آن Z_c بیانگر فاصله نقطه P از مرکز نوری دوربین (O_c) است. در بخش ۳-۳ در مورد چگونگی محاسبه Z_c توضیح داده می شود. K ماتریس پارامترهای ذاتی بوده و به صورت رابطه ۴ تعریف می شود.

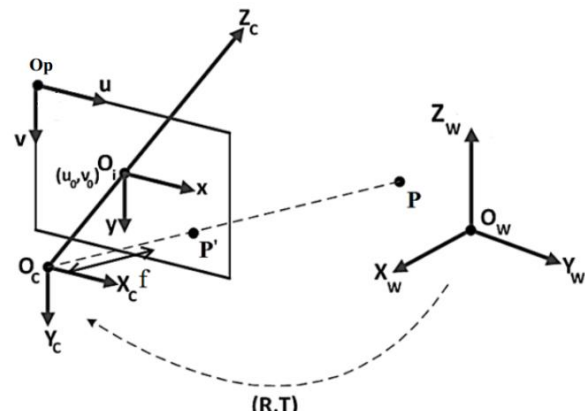
از این رو هنگام کالیبراسیون، عملکرد اصلی سیستم مختلط نخواهد شد. استقرار دوربین در فضای کاری ربات و نه روی سکو، مانعی در حرکت ربات نخواهد بود و از این رو در صورت ارتقای سامانه به حالت بلاذرنگ، می توان هنگام فعالیت ربات، کنترل آن را هم انجام داد.

همچنین استفاده از بینایی استریو امکان تخمين عمق به طور مستقیم و با دقت بیشتری نسبت به تک دوربین را دارد و استفاده از دوربین استریو صنعتی نیز علاوه بر افزایش دقت، نیاز به تنظیم شدن دوربین ها توسط اپراتور را حذف می کند. طبق مرجع [۲] برای اندازه گیری مکان سکو، بهتر است از یک نشانه، روی سکوی ربات استفاده شود؛ از این رو در این تحقیق روش مبتنی بر ویژگی که حساسیت کمتری هم به روشنایی محیط دارد، پیاده سازی شده است و از یک نشانه مثلثی، استفاده می شود و پاره خط های تشکیل دهنده اضلاع آن به عنوان ویژگی، توسط سامانه، استخراج شده و بازسازی سه بعدی برای نقاط ابتدا و انتهای هر یک از خطوط انجام می شود.

الگوریتم سامانه طراحی شده برای تشخیص بهتر مراحل کار در ادامه نشان داده خواهد شد، که هر مرحله از آن در بخش های بعدی توضیح داده می شود. بخش های بعدی مقاله به ترتیب زیر می باشد؛ بخش ۲ مختص تصویف هندسه سیستم تصویربرداری و رابطه بین فضای سه بعدی واقعی و فضای دو بعدی تصویر خواهد بود. در بخش ۳ بینایی استریو و پارامترهای آن توضیح داده می شود، در بخش ۴ روش محاسبه جابجایی و جهت ارائه می شود، توضیح ساخت افزار و نرم افزارهای مورداستفاده در بخش ۵ خواهد بود، در بخش ۶ روش و نتایج آزمایش سامانه طراحی شده روی سکوی منحرک ربات توضیح داده می شود و در نهایت جمع بندی مقاله در بخش ۷ ارائه می شود.

۲- هندسه سیستم تصویربرداری

در این بخش، رابطه بین فضای سه بعدی واقعی و فضای دو بعدی تصویر ارائه می شود (شکل ۱). مدل روزنه ای^{۱۰}، ساده ترین روش مدل سازی دوربین می باشد:



شکل ۱: نمایش مدل روزنه ای، به همراه دستگاه های مختصاتی

مطابق شکل ۱، در این مدل برای کسب تصویر یک نقطه در فضای سه بعدی با مختصات P ، روی صفحه تصویر دوربین، از آن نقطه خطی را به مرکز نوری دوربین (O_c) وصل کرده که محل برخورد این خط با

تصویر متفاوت از یک صحنه دریافت و به مغز می‌فرستند و مغز، تفاوت تصاویر را درک و ترکیب کرده و حس عمق و فاصله شیء موردنظر را به انسان می‌دهد، الهام گرفته شده [۲۲] و بینایی استریو که تشخیص ساختار سه بعدی و عمق اجسام با استفاده از دو تصویر کسب شده از دو دوربین با دید متفاوت نسبت به صحنه را می‌دهد، به وجود آمده است [۲۱]. در ادامه پارامترهای بینایی استریو توضیح داده می‌شود.

۳-۱- انتخاب و استخراج ویژگی تصویر

در بینایی استریو، با توجه به مسئله تعريفشده می‌توان از یک سری نشانه‌ها (که به طور طبیعی وجود دارند و یا به طور مصنوعی ایجاد می‌شوند) برای مثال لبه، پاره خط، گوشه یا نقاط گوشه مانند، به عنوان هدف استفاده کرده و سپس با توجه به ماهیت نشانه‌ها، آن‌ها را از تصاویر استخراج کرد. پس از استخراج ویژگی، برداری موسوم به بردار ویژگی یا توصیف‌گر ویژگی تشکیل می‌شود که حاوی صفات ویژگی موردنظر بوده و در مراحل بعدی مورد استفاده خواهد بود [۲۱].

در این پژوهش، از پاره خط به عنوان علائم راهنمای استفاده شده است. یک نشانه مثلثی به عنوان علامت راهنمای، روی سکوی متحرک ربات موازی نصب می‌شود و پاره خط‌های تشکیل دهنده اضلاع این مثلث به عنوان ویژگی، طی پردازش تصویر در سامانه طراحی شده، استخراج شده و سپس با استفاده از اطلاعات به دست آمده از آن، اندازه‌گیری موقعیت سکو انجام می‌شود. همچنین در این سامانه، به دلیل کاهش هزینه محاسباتی و کاهش خطای اندازه‌گیری در اثر ورود اطلاعات نامبروط، با انتخاب دو نقطه حوالی نشانه مثلثی، یک ناحیه مورد علاقه به وجود آمده و سپس مراحل استخراج پاره خط‌ها فقط در این ناحیه صورت می‌گیرد.

در این مرحله از سامانه طراحی شده، بعد از فرآخوانی تصویر، ابتدا با روش لبه‌یابی کنی [۱۴] نقاط لبه، شناسایی شده و در یک لیست قرار می‌گیرد. سپس برای ساخت پاره خط‌ها، نقاط لبه شناسایی شده، به طریق مناسب، به هم متصل شده و حدود مرزی تشکیل می‌شود و در مرحله بعد، پاره خط‌های تصویر از نقاط لبه، تابع پیاده‌سازی شده در منبع [۲۳] می‌باشند. در ادامه به توضیح چگونگی استخراج پاره خط‌ها پرداخته می‌شود.

برای ساخت حدود مرزی، اولین نقطه لبه یافته شده در تصویر در ابتدای یک لیست جدید قرار می‌گیرد. برای پیدا کردن نقاط لبه بعدی حدود مرزی، از روش اتصال- هشت استفاده می‌شود. به طوری که هر کدام از هشت نقطه مجاور نقطه مذکور، به عنوان نقطه لبه (مستخرج در مرحله لبه‌یابی) باشد به لیست ایجادی اضافه می‌شوند. این کار تا زمانی که نقاط لبه متصل به هم، یافته شوند ادامه می‌یابد. در پایان، لیست نقاط متصل به هم، بسته شده و جستجوی نقطه لبه جدیدی که در لیست نقاط متصل قبلی، قرار نگرفته است، آغاز می‌شود و تمام مراحل قبلی برای نقطه لبه جدید تکرار می‌شود. که درنهایت، لیست‌هایی از نقاط لبه متصل به هم وجود خواهد داشت. در مرحله

$$K = \begin{bmatrix} f_x & 0 & u_0 \\ 0 & f_y & v_0 \\ 0 & 0 & 1 \end{bmatrix} \quad (4)$$

که در آن f_x و f_y فاصله کانونی در جهت محورهای X و Y می‌باشند. به مولفه‌های رابطه ۴ پارامترهای ذاتی [۱۲] دوربین گفته می‌شود. این پارامترها باید طی پروسه کالیبراسیون دوربین به دست آید.

تا به اینجا رابطه بین مختصات نقطه در فضای سه بعدی (Pc) و تصویر آن در صفحه تصویر دوربین ($P = [u, v]$) توسط رابطه ۳ مشخص شده است. در صورت وجود دستگاه مختصات دلخواه، رابطه‌ای، بین این دستگاه و دستگاه مختصاتی دوربین، تعريف می‌شود. ارتباط بین مختصات نقطه در دستگاه مختصاتی دوربین $P_c = [X_c \ Y_c \ Z_c]^T$ و مختصات نقطه در دستگاه مختصاتی جهانی $P_w = [X_w \ Y_w \ Z_w]^T$ ، در رابطه ۵ نشان داده شده است.

$$P_c = RP_w + T \quad (5)$$

که در آن T بردار جابجایی و R ماتریس چرخش بوده و طبق روابط و ۷ تعریف می‌شوند.

$$T = \begin{bmatrix} T_x & T_y & T_z \end{bmatrix}^T \quad (6)$$

$$R = \begin{bmatrix} r_{11} & r_{12} & r_{13} \\ r_{21} & r_{22} & r_{23} \\ r_{31} & r_{32} & r_{33} \end{bmatrix} = \begin{bmatrix} C_\Phi C_\kappa & S_\omega S_\Phi C_\kappa - C_\omega S_\kappa & C_\omega S_\Phi C_\kappa + S_\omega S_\kappa \\ C_\Phi S_\kappa & S_\omega S_\Phi S_\kappa + C_\omega C_\kappa & C_\omega S_\Phi S_\kappa - S_\omega C_\kappa \\ -S_\Phi & S_\omega C_\Phi & C_\omega C_\Phi \end{bmatrix} \quad (7)$$

که در آن C_i نماد $i = \kappa, \Phi, \omega$ و S_i نماد $i = \sin(i)$ و $\cos(i)$ می‌باشد و Φ از روابط ۵ و ۶ داریم:

$$\begin{bmatrix} P_c \\ 1 \end{bmatrix} = \begin{bmatrix} R & T \\ 0 & 1 \end{bmatrix} \begin{bmatrix} P_w \\ 1 \end{bmatrix} \quad (8)$$

با جایگذاری رابطه ۸ در رابطه ۳ داریم:

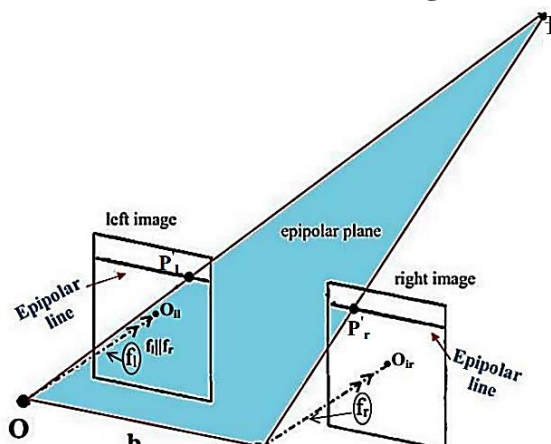
$$Z_c[u \ v \ 1]^T = K[R \ | \ T] \begin{bmatrix} P_w \\ 1 \end{bmatrix} \quad (9)$$

که در آن $K[R \ | \ T]$ ماتریس تجسم نامیده شده و به R و T، پارامترهای خارجی [۱۳] گفته می‌شود [۲۱]. اگر نیاز به کسب مختصات نقطه در دستگاه مختصاتی دلخواه (دستگاه مختصاتی جهانی) باشد، باید پارامترهای خارجی نیز طی پروسه کالیبراسیون دوربین تعیین شوند، اما اگر دستگاه مختصات جهانی منطبق بر دستگاه مختصات دوربین در نظر گرفته شود، رابطه ۳ خواهد بود و فقط تخمین پارامترهای ذاتی، ضروری است.

۳- بینایی استریو

همان‌طور که در توضیح رابطه ۳ آمد، برای کسب اطلاعات سه بعدی به وسیله استفاده از اطلاعات دوبعدی تصویر، نیاز به محاسبه عمق یا فاصله از مرکز نوری دوربین (Z_c) است. برای این محاسبه، از سیستم بینایی انسان که بینایی برجسته‌بینی نام دارد و در آن دو چشم، دو

استفاده از بینایی استریو، خط پایه نیز به عنوان پارامتر ذاتی دوربین استریو محسوب می‌شود.



شکل ۳: استریوی موازی

صفحه گذرنده از نقطه P و مراکز نوری دوربین‌ها، صفحات تصویر را در دو خط به نام خط اپیپولار 10 قطع می‌کنند که نقاط تصویر P_l و P_r نیز روی این خطوط واقع هستند. هندسه اپیپولار نشان می‌دهد که به منظور یافتن متناظر یک نقطه در تصویر چپ، لازم به جستجوی کل تصویر راست نبوده و کافی است خط اپیپولار، جستجو شود؛ همچنین در استریوی موازی به دلیل توازن محور نوری دوربین‌ها، خطوط اپیپولار نیز با هم موازی و همچنین هم‌سطر هستند [۱۹].

در پیاده‌سازی الگوریتم تطابق پاره‌خط‌ها، پس از فراخوانی توصیف‌گرهای ویژگی تصاویر چپ و راست، مراحل زیر پیاده‌سازی شده است:

الف- برای هر پاره‌خط در تصویر چپ، شماره سطر نقطه میانی پاره‌خط، از بردار ویژگی تصویر چپ پیدا می‌شود و سپس محدوده جستجوی تصویر راست در سط्रی هم‌شماره با آن تعیین می‌شود (با توجه به هندسه اپیپولار).

ب- بین پاره‌خط موردنظر در تصویر چپ و هر کدام از پاره‌خط‌های کاندید (طبق مرحله الف) در تصویر راست،تابع معیاری بر اساس رابطه ۱۰ تشکیل می‌شود:

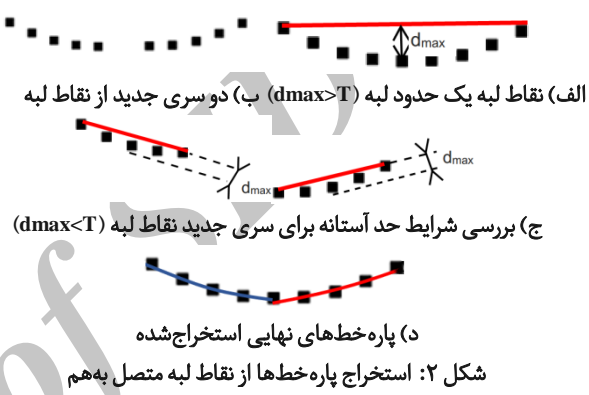
$$\text{Distance}(l_l, l_r) = w_l(\Delta l)^2 + w_\theta(\Delta\theta)^2 + w_m(\Delta midy)^2 + w_c(\Delta c)^2 \quad (10)$$

که در آن $\text{Distance}(l_l, l_r)$ تابع معیار برای مقایسه دو خط موردنبررسی بوده و Δl ، $\Delta\theta$ ، $\Delta midy$ و Δc به ترتیب تفاوت اندازه، تفاوت جهت، تفاوت در مختصات v نقطه میانی پاره‌خط‌ها و تفاوت کنتراست دو پاره‌خط بوده و w_l ، w_θ و w_m ضریب وزنی آن‌ها است.

ج- کمترین مقدار تابع معیار و همچنین پاره‌خط تصویر راست مربوط به آن تابع معیار را پیدا کرده و به عنوان کاندید نهایی تناظریابی معرفی شود.

د- اگر کمترین مقدار تابع معیار (مرحله ج) از یک حد آستانه (که با توجه به مسئله تعریف می‌شود) کمتر باشد، پاره‌خط تصویر راست مربوط

بعد، برای یافتن پاره‌خط‌های مستقیم از حدود مرزی، برای هر لیست نقاط متصل به هم، خطی که نقاط ابتداء و انتهای لیست را به هم متصل می‌کند، در نظر گرفته می‌شود و از بین نقاط لیست موردنظر، نقطه‌ای که بیشترین فاصله را از خط مذکور دارد انتخاب می‌شود و در صورتی که این فاصله (d_{max}) از یک حد آستانه (T) بیشتر باشد (شکل ۲-الف)، در آن نقطه، لیست نقاط به دو لیست تقسیم می‌شود (شکل ۲-ب). سپس کار تجزیه، بر روی لیست‌های جدید، تا زمانی که بیشترین فاصله نقاط هر لیست از مقدار حد آستانه کمتر شود، تکرار می‌شود (شکل ۲-ج) و درنهایت، برای هر پاره‌خط، یک لیست شامل نقاط روی پاره‌خط استخراج می‌شود (شکل ۲-د). شکل ۲، طرح شماتیکی از استخراج پاره‌خط‌ها از نقاط لبه متصل به هم را نشان می‌دهد.



شکل ۲: استخراج پاره‌خط‌ها از نقاط لبه متصل به هم

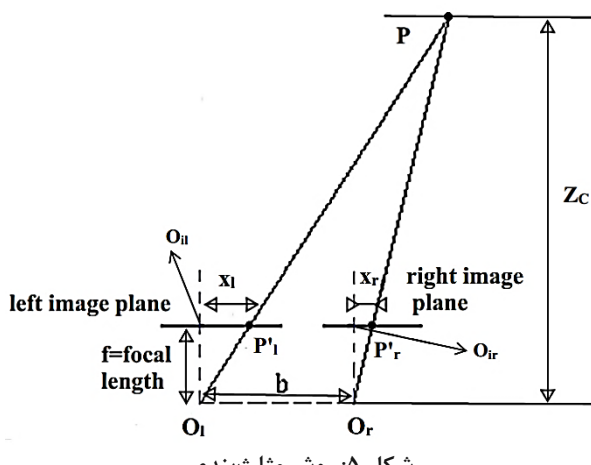
پس از استخراج پاره‌خط‌ها، توصیف‌گر ویژگی، برای پاره‌خط‌های استخراج شده، تشکیل می‌شود که برای هر پاره‌خط، شامل مختصات پیکسلی (v, u) نقاط ابتدایی و انتهایی پاره‌خط، طول پاره‌خط، جهت پاره‌خط، مختصات پیکسلی نقطه میانی پاره‌خط و میانگین گرادیان نقاط روی پاره‌خط (به عنوان کنتراست آن)، می‌باشد. هر یک از مراحل فوق باید برای تصاویر کسب شده از هر دو دوربین صورت پذیرد.

۲-۳- تطابق استریو

بعد از استخراج ویژگی (در اینجا پاره‌خط) و توصیف‌گرهای آن در دو تصویر در مرحله قبل، لازم است که ویژگی‌های متناظر در دو تصویر، تطابق داده شده و پاره‌خط متناظر هر پاره‌خط در تصویر چپ، در تصویر راست مشخص شود. تطابق استریو مهمنترین مرحله محاسباتی در بینایی استریو است. اساس مرحله تطابق استریو این است که هر توصیف‌گر ویژگی تصویر چپ را با توصیف‌گرهای ویژگی کاندید در تصویر راست مقایسه کرده و سپس با استفاده از یک تابع معیار، شبیه‌ترین ویژگی به عنوان متناظر معرفی شود.

۲-۴- استریوی موازی

معمول‌ترین روش بینایی استریو، استریوی موازی است که در آن طبق شکل ۳، محور نوری دوربین‌ها (f_l و f_r) محور نوری دوربین دارند و محور نوری دوربین راست (باهم موازی می‌باشند. در شکل ۳، تصویر نقطه P در صفحه تصویر چپ P_l و در صفحه تصویر راست، P_r می‌باشد. b خط واصل بین مراکز نوری دوربین‌ها (o و o') بوده و خط پایه نام دارد (در

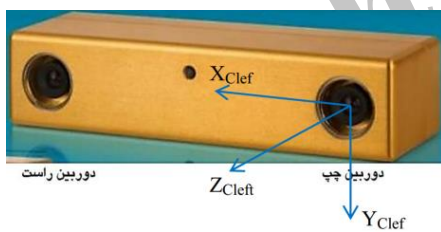


شکل ۵: روش مثلثبندی

به عبارت مخرج در رابطه ۱۱، اختلاف مکان گفته می‌شود که با d نمایش داده شده است [۲۲]. درنهایت رابطه مثلثبندی به شکل رابطه ۱۲، خواهد بود.

$$Z_c = \frac{bf}{d} \quad (12)$$

پس از استخراج ویژگی در تصاویر چپ و راست و انجام تطبیق استریو و مشخص شدن متناظرها، می‌توان برای محاسبه Z_c از رابطه ۱۲ بهره برد و مقدار محاسبه شده را در رابطه ۳، استفاده کرد و در نتیجه، با اطلاعات دوبعدی حاصل از تصویر (u, v)، اطلاعات سه بعدی فضایی (P_c) را کسب کرد. لازم به ذکر است که به طور قراردادی، دوربین چپ به عنوان مبنای محاسبات در نظر گرفته می‌شود و مختصات دو بعد دیگر (X_c و Y_c) بر مبنای آن صورت می‌گیرد. در شکل ۶ دوربین استریو مورداستفاده در این پژوهش به همراه محورهای مختصاتی دوربین چپ به عنوان مینا، نشان داده شده است.



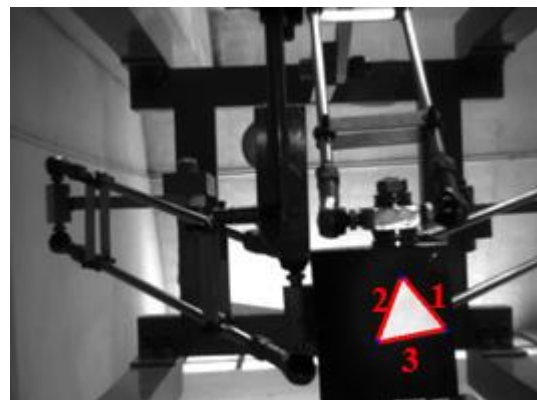
شکل ۶: دوربین استریو با محورهای مختصات دوربین چپ (مینا)

۴-۳- دنبال کردن تصاویر استریو

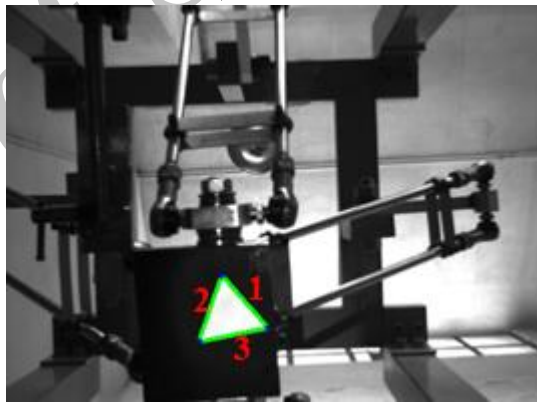
در کاربردهایی که هدف (یا دوربین) حرکت می‌کنند و نیاز است تا برای مثال موقعیت یک مکان از سکوی ربات نسبت به مکانی دیگر از آن تعیین شود، لازم است تا ویژگی‌ها در دو موقعیت مختلف نیز دنبال شده و مشخص شود که هر ویژگی در موقعیت بعدی در کجا تصویر قرار دارد. این مرحله با مقایسه بردارهای ویژگی تصاویر چپ دو موقعیت، انجام می‌شود [۲۱]. در اینجا با توجه به آنکه سکوی ربات موردنظر، سه درجه آزادی حرکتی خطی و تنها یک درجه آزادی دورانی داشته و حول محور Y و به اندازه حداقل $30^\circ \pm$ درجه امکان چرخش دارد، هنگام حرکت از یک مکان به مکان دیگر و حتی در صورت وجود چرخش

به آن تابع معیار، به عنوان متناظر پاره خط موردنرسی در تصویر چپ شناخته می‌شود و بدین ترتیب تطبیق استریو به پایان می‌رسد [۲۱].

شکل ۴ نمونه‌ای از پاره خط‌های استخراج شده و تطبیق یافته در تصاویر چپ و راست یک موقعیت از سکوی متحرک ربات را که توسط سامانه طراحی شده انجام شده است را نشان می‌دهد. در شکل ۴-الف) و (۴-ب) پاره خط‌های متناظر، توسط سامانه، با شماره ۱، ۲، ۳، علامت‌گذاری شده و درواقع تناظریابی به درستی انجام شده است.



الف) تصویر چپ



ب) تصویر راست

شکل ۴: پاره خط‌های تطبیق یافته در دو تصویر چپ و راست یک موقعیت سکو

۳-۳- مثلثبندی

با استفاده از روش مثلثبندی می‌توان عمق یا فاصله از دوربین را محاسبه کرد. در شکل ۵ که دید از بالای شکل ۳ است، با استفاده از تشابه مثلثاتی بین مثلث $\triangle P'_{il}P_{ir}$ و $\triangle O_{il}O_{ir}$ رابطه زیر به دست می‌آید:

$$Z_c = \frac{bf}{x_l - x_r} \quad (11)$$

که در آن x_l و x_r به ترتیب فاصله تصویر نقطه در صفحه تصویر چپ (P'_{il}) از مرکز تصویر چپ (O_{il}) و فاصله تصویر نقطه در صفحه تصویر راست (P'_{ir}) از مرکز تصویر راست (O_{ir})، می‌باشد.

H یک ماتریس با ابعاد 3×3 بوده و بنام ماتریس همبستگی تعریف می‌شود.

$$[U \quad S \quad V] = SVD(H), \quad H = USV^t \quad (17)$$

که در آن U و V، دو ماتریس مربعی اوتونرمال بوده و S نیز یک ماتریس قطری با درایه‌های غیرمنفی می‌باشد. با استفاده از این رابطه، ماتریس همبستگی H به مقادیر منفرد تجزیه می‌شود (ماتریس دوران نیز از نظر ریاضی یک ماتریس اوتونرمال است و از این‌رو از خواص ماتریس اوتونرمال در پیدا کردن ماتریس R، استفاده شده است).

$$\hat{R} = VU^t \quad (18)$$

که در آن \hat{R} ماتریس چرخش بهینه می‌باشد که بعد از تخمین این ماتریس، می‌توان از رابطه ۱۳، بردار جابجایی را تخمین زد و برای تعیین زوایای چرخش حول محورها از رابطه ۷ استفاده کرد.

به منظور کاهش تأثیر خطای اندازه‌گیری، از الگوریتم سی‌تی اف^{۱۷} [۲۶] استفاده شده است؛ شکل ۸، الگوریتم این روش را نمایش می‌دهد. در این روش بعد از تخمین اولیه ماتریس چرخش و بردار جابجایی، با استفاده از آن‌ها و رابطه ۱۳، نگاشت مختصات سه‌بعدی نقاط، از موقعیت اول سکو به موقعیت دوم سکو انجام شده و فاصله بین مقدار محاسبه شده و مقدار واقعی به دست می‌آید. بیشینه مقدار آن‌ها به عنوان خطای نظر گرفته می‌شود. اگر خطای محاسبه شده از یک حد آستانه بیشتر بود، نقطه مربوط به آن، از مجموعه نقاط حذف می‌شود و دوباره محاسبه ماتریس چرخش و بردار جابجایی با مختصات سه‌بعدی نقاط باقی‌مانده انجام می‌شود. این کار تا زمانی که خطای حد آستانه کمتر شود، ادامه می‌یابد.

۵- ساخت افزار و نرم‌افزارهای مورد استفاده

دوربین‌های مورد استفاده در این پژوهش، دوربین استریوی بامیلی‌بی^{۱۸-۲} ساخت شرکت پوینت‌گری کشور کانادا است. برای راه اندازی دوربین و همچنین به دست آوردن تصویر از آن با استفاده از نرم‌افزار مخصوص دوربین (تری‌کلایپس^{۱۹}) لازم است تا دوربین استریو از طریق کابل مخصوصی به رایانه‌ای که روی مرگاه پی‌سی‌ای آن، کارت واسطی از نوع فایر وایر نصب شده باشد، متصل شود. جدول ۱ مشخصات فنی دوربین و شکل ۶، تصویری از دوربین مذکور را نشان می‌دهند.

به دلیل آنکه دوربین استریوی موردنظر دوربین صنعتی بوده و لنزهای آن در کارخانه به صورت مکانیکی و با دقت بالا با محورهای نوری موازی مونتاژ شده‌اند، تصویربرداری استریو با آن یک تصویربرداری با هندسه استریوی موازی می‌باشد.

برای پردازش تصاویر و پیاده‌سازی الگوریتم‌های موردنظر و به‌طورکلی طراحی سامانه اندازه‌گیری موردنظر، از نرم‌افزار مطلب استفاده شده است. سامانه در یک لپ‌تاپ با پردازشگر Intel core i5 - 2.5GHz و رم 4GB و سیستم عامل Windows 7 اجرا می‌شود. اجرای سامانه از لحظه ورود تصاویر تا تخمین ماتریس چرخش و بردار جابجایی، ۱/۷۱۳۷ ثانیه زمان می‌برد. لازم به ذکر است که می‌توان با پیاده‌سازی سامانه در نرم‌افزارهای پایه سی (مانند اپن‌سی‌وی) آن را به

همراه جایجایی، چندان تغییری در جهت پاره خط‌های تصاویر ایجاد نمی‌شود و از این‌رو ازتابع معیاری شبیه تابع معيار مرحله تناظریابی (رابطه ۱۰) استفاده شده و مرحله دنبال‌کردن تصاویر استریو نیز حل می‌شود.

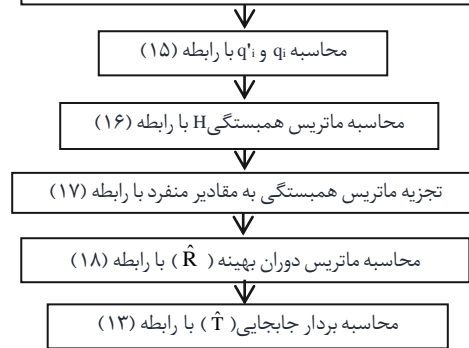
۴- محاسبه بردار جهت و جابجایی

بعد از محاسبه مختصات سه‌بعدی نقاط در دستگاه مختصاتی دوربین، هم در موقعیت اولیه و هم در موقعیت جابجایی و همچنین پس از دنبال کردن ویژگی‌های متناظر در دو موقعیت سکو، می‌توان موقعیت و جهت‌گیری دو مکان از سکوی ربات را نسبت به هم محاسبه کرد. به‌طورکلی، در صورتی که مختصات سه‌بعدی چند نقطه ویژگی در دو موقعیت از جسم (در یک دستگاه مختصاتی) در دست باشد، رابطه ۱۳ بین نقاط متناظر حاکم است.

$$P'_i = RP_i + T + N_i \quad (13)$$

که در آن R ماتریس چرخش و T بردار جابجایی بین دو موقعیت از جسم بوده و N_i بردار خطای می‌باشد. P_i و P'_i مختصات سه‌بعدی نقطه ویژگی نام به ترتیب قبل و بعد از جابجایی جسم می‌باشند هدف آن است تا بهینه‌ترین مقدار برای ماتریس چرخش و بردار جابجایی طوری به دست آید که با جاگذاری آن‌ها در رابطه ۱۳ N_i کمترین مقدار ممکن شود. روش ذکر شده در مرجع [۲۴ و ۲۵] که روشی بر پایه تجزیه به مقادیر منفرد می‌باشد، متداول‌ترین روش برای این محاسبه بوده که در این پژوهش مورد استفاده است و با صرف نظر از اثبات روش، در شکل ۷ مراحل آن در یک الگوریتم نمایش داده شده است.

محاسبه مرکز تقل نقل نقاط روی سکو در هر دو موقعیت (P و P')



شکل ۷: الگوریتم تخمین ماتریس چرخش و بردار جابجایی

$$P = \frac{1}{N} \sum_{i=1}^N P_i, \quad P' = \frac{1}{N} \sum_{i=1}^N P'_i \quad (14)$$

که در آن P مرکز تقل مجموعه نقاط قبل از جابجایی سکو و P' مرکز تقل مجموعه نقاط بعد از جابجایی آن می‌باشند.

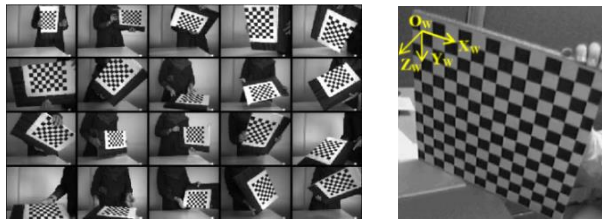
با استفاده از رابطه ۱۵، q_i و q'_i تعریف می‌شوند.

$$q_i = P_i - P, \quad q'_i = P'_i - P \quad (15)$$

به‌طوری که گفته شد، برای تجزیه به مقادیر منفرد از ماتریس H به ترتیب زیر استفاده می‌شود:

$$H = \sum_{i=1}^N q_i q'_i \quad (16)$$

ناحیه‌ای که باید استخراج نقاط در آن صورت پذیرد، توسط کاربر و با انتخاب چهار گوشه مرزی صفحه شطرنجی، انجام می‌شود. پس از آن، اطلاعات پیکسلی (۱۱، ۷) نقاط صفحه شطرنجی (برای هر موقعیت تصویربرداری) در جعبه‌ابزار استخراج می‌شود. سپس با مشخص بودن مختصات نقاط در دستگاه جهانی و مختصات پیکسلی تصویر آن‌ها، حل معادلات حاصل از رابطه ۹، در این جعبه‌ابزار صورت گرفته و درنهایت کالیبراسیون دوربین انجام می‌شود. در شکل ۹-(الف) تخته کالیبراسیون به همراه مبداء جهانی نشان داده شده و در شکل ۹-(ب) نیز موقعیت‌های مختلف صفحه کالیبراسیون در برابر دوربین نشان داده شده است.



الف) مبداء جهانی روی صفحه کالیبراسیون؛ ب) موقعیت‌های مختلف صفحه
شکل ۹: صفحه کالیبراسیون مورد استفاده

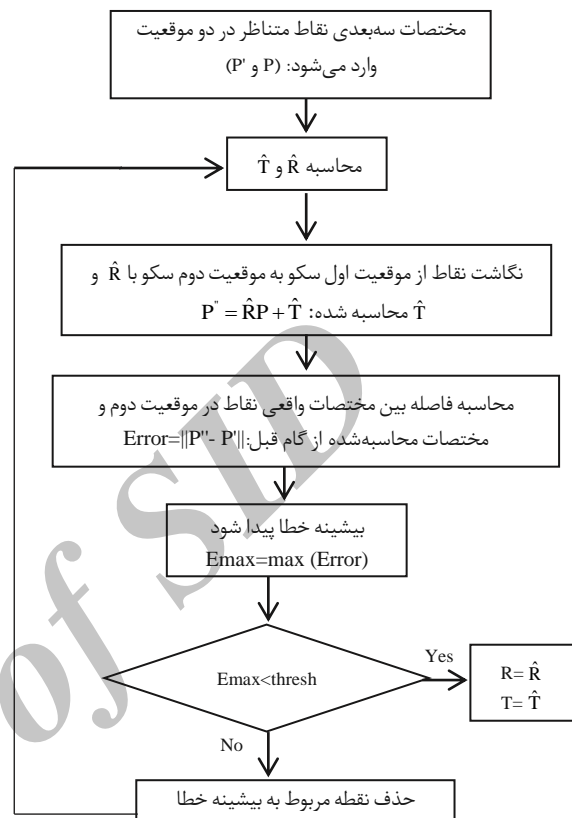
در شکل ۱۰ جمع‌بندی کلی مراحل کار و الگوریتم سامانه طراحی شده توضیح داده شده قبلی نشان داده شده است.

۶- آزمایش سامانه طراحی شده روی سکوی متحرک

آزمایش دقت سامانه اندازه‌گیری طراحی شده در اندازه‌گیری نسبی دو موقعیت از سکو، روی یک ربات موازی که دارای سه درجه آزادی حرکتی و یک درجه آزادی حرکت چرخشی حول محور z سکوی متحرک یا عملگر نهایی می‌باشد، انجام شد. در شکل ۱۱ ربات موازی موردنظر نشان داده شده است. سکوی متحرک این ربات به کمک وسایل اندازه‌گیری دقیقی مانند سنجه‌ها^۲، در دو وضعیت کاملاً مشخص نسبت به هم قرار داده شد و تصاویر استریوو در هر مکان از سکو توسط دوربین گرفته شده و به عنوان ورودی سامانه، فراخوانی شد. سپس اندازه‌گیری موقعیت و جهت‌گیری دو وضعیت از سکوی ربات، در سامانه انجام شد. درنهایت اختلاف بین مقدار اندازه‌گیری شده و مقدار واقعی (تنظیم شده توسط سنجه) به عنوان دقت سامانه گزارش می‌شود. شکل ۱۲، تنظیمات و اجزای مورد استفاده در آزمایش سامانه را نشان می‌دهد.

در این آزمایش طبق شکل ۱۳، یک سر سنجه با یک لبه از سکو مماس شده و سپس تصویر استریو در آن موقعیت (به عنوان موقعیت ابتدایی) کسب می‌شود.

سامانه بلادرنگ ارتقا داده و برای کارهایی چون کنترل ربات به روش بینایی ماشین استفاده کرد. همچنین تخمین پارامترهای ذاتی دوربین، از طریق کالیبراسیون دوربین با استفاده از جعبه‌ابزار کالیبراسیون دوربین در نرم‌افزار متلب [۲۷] انجام می‌شود.



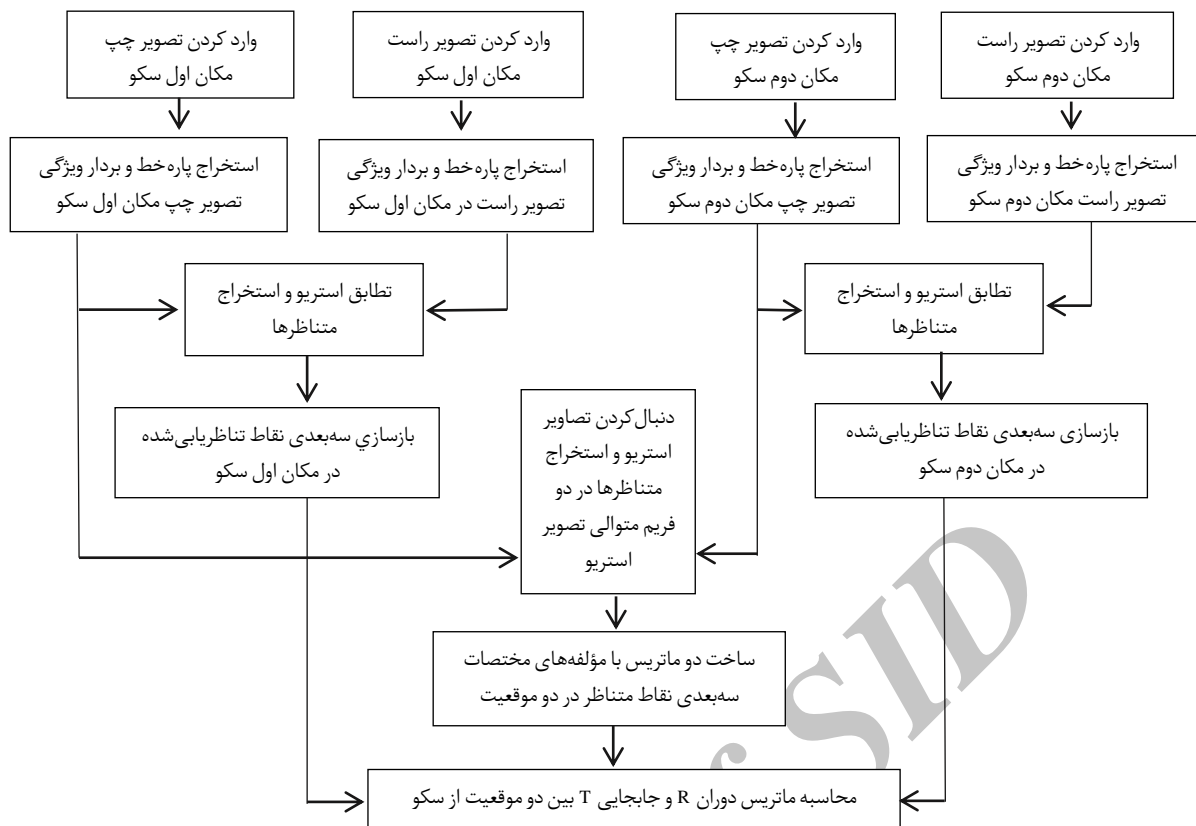
شکل ۸: الگوریتم روش سی‌تی‌اف

جدول ۱: مشخصات فنی دوربین بامبی‌بی-۲ [۲۸]

تفکیک‌پذیری	۶۴۰×۴۸۰ پیکسل
ابعاد	۱۵۷×۳۶×۴۷.۴ میلی‌متر
لنز	2*M12(micro lens)
نوع سنسور	CCD خاکستری
نام سنسور	Sony ICX424
درگاه اتصال	Fire wire, IEEE-1394a

هدف از انجام پروسه کالیبراسیون دوربین، تخمین پارامترهای دوربین شامل فاصله کانونی (f_x, f_y ، نقطه اصلی (u_0, v_0) و خط پایه b) می‌باشد. اساس جعبه‌ابزار کالیبراسیون دوربین در نرم‌افزار متلب الگوریتم ژنگ می‌باشد که در آن از یک صفحه کالیبراسیون شطرنجی که فاصله نقاط روی آن از هم مشخص است، استفاده می‌شود. با انتخاب مبداء دستگاه مختصات جهانی (O_w)، روی همان صفحه (معمولًاً سمت چپ و بالای صفحه) مختصات نقاط در دستگاه مختصات جهانی (P_w) مشخص خواهد بود.

برای انجام کالیبراسیون، از صفحه کالیبراسیون در فواصل و زوایای مختلفی نسبت به دوربین، تصویربرداری شده و بعد از فراخوانی تصاویر،

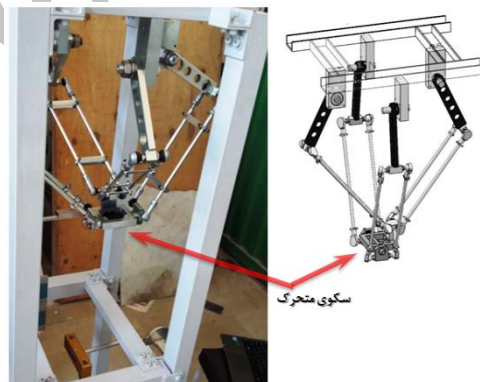


شکل ۱۰: الگوریتم سامانه طراحی شده برای اندازه‌گیری موقعیت و جهت‌گیری سکوی متحرک در دو مکان مختلف نسبت بهم

آزمایش فاصله دوربین تا سکو ۵۰۰ میلی‌متر بود که در این فاصله هر پیکسل تصویر ۰/۶۶ میلی‌متر از صحنه را نگاشت می‌کند. در جدول ۳ مقایسه‌ای بین روش و دقت چند پژوهش دیگر با سامانه طراحی شده در پژوهش حاضر، ملاحظه می‌شود. با توجه به شرایط این پژوهش، مانند استفاده از بینایی استریو در تخمین عمق، استفاده از دوربین استریوی صنعتی و درنتیجه دقت بالاتر و عدم نیاز به تنظیم دستی دوربین‌ها، استقرار دوربین در فضای کاری ربات و درنتیجه عدم ایجاد اختلال در عملکرد اصلی ربات حین کالیبراسیون و خصوصاً با توجه به تفکیک‌پذیری تقریباً پایین دوربین، کارایی و دقت سامانه طراحی شده خصوصاً برای استفاده در سیستم‌های با دقت متوسط، مشخص است. که البته با استفاده از دوربین با تفکیک‌پذیری بالاتر، نتایج بهتری نیز می‌توان کسب کرد.

جدول ۲: نتایج اندازه‌گیری موقعیت و جهت سکوی متحرک ربات موازی (برحسب میلی‌متر و درجه)

شماره آزمایش	مقدار اندازه‌گیری شده	خطای جابجایی	زاویه حول محور X	زاویه حول محور Y	زاویه حول محور Z
اول	۹۹/۳۲	۰/۶۸	۲/۵۸	۰/۵۸	۰/۹۱
دوم	۱۰۲/۳۷	۲/۳۷	۳/۶۷	۰/۷۱	۰/۶۱
سوم	۱۰۱/۷۵	۱/۷۵	۷/۸۷	۱/۵۹	۰/۴۹
انحراف جذر میانگین مربعات خطای	۱/۷۴mm		۲/۳۲°		



شکل ۱۱: ربات موادی مورد اندازه‌گیری به همراه سکوی متحرک

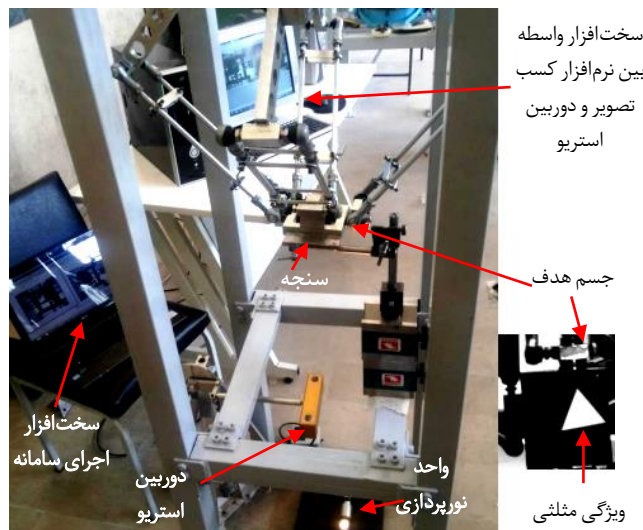
برای ایجاد موقعیت دوم، سکوی متحرک را به اندازه طول سنجه حرکت داده تا لبه مذکور از سکو، به سر دیگر سنجه مماس شود که درنتیجه سکوی متحرک حرکتی به اندازه طول دقیق سنجه انجام داده است، سپس تصویر استریو در آن موقعیت سکو کسب می‌شود. این اندازه‌گیری با تنظیمات لازم سنجه در جهات مختلف، در راستای هر سه محور X، Y و Z سکوی ربات انجام شده است. شکل ۱۴ تنظیمات موقعیت اول و دوم آزمایش را در راستای X (آزمایش اول)، نشان می‌دهد. طول سنجه مورد استفاده و درنتیجه مقدار جابجایی سکو در سه آزمایش، ۱۰۰ میلی‌متر است. جدول ۲ نیز نتایج به دست آمده توسط سامانه طراحی شده برای سه آزمایش را نشان می‌دهد. طبق نتایج جدول ۲، حداقل خطای مشاهده شده ۲/۳۷ میلی‌متر بوده و انحراف جذر میانگین مربعات خطای ۱/۷۴ میلی‌متر است. همچنین انحراف جذر میانگین مربعات خطای چرخش نیز ۲/۳۲ درجه می‌باشد (در طول

جدول ۳: مقایسه شرایط و دقت سامانه طراحی شده با سایر پژوهش‌ها

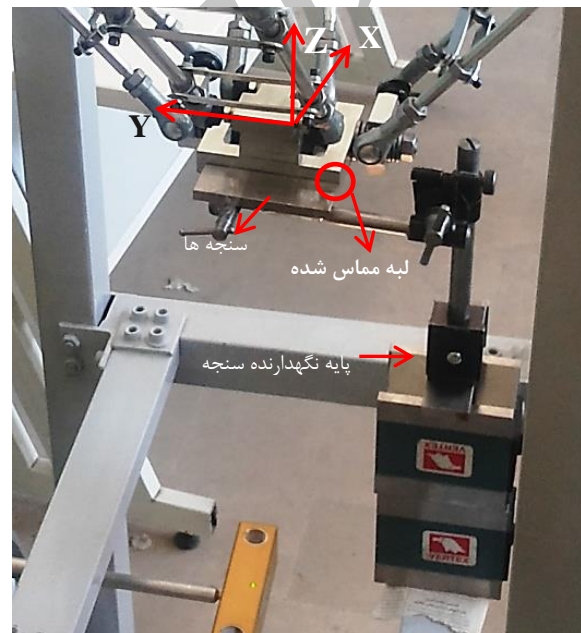
پژوهش	توضیحات شرایط آزمایش	دقت
سامانه طراحی شده در این مقاله	تفکیک‌پذیری 640×480 فاصله تا دوربین 500 میلی‌متر هر پیکسل 0.06 میلی‌متر را نگاشت می‌کند. بینایی استریو، دوربین صنعتی مستقر در فضای کاری	$1/74$ میلی‌متر
چیانگ [۱۶]	تفکیک‌پذیری 648×482 بینایی استریو، تنظیم دستی دوربین‌ها	$2/18$ میلی‌متر
شهشهانی [۱۵]	تفکیک‌پذیری 640×480 دوربین استریو صنعتی آزمایش با ویزگی‌های متفاوت فاصله تا دوربین 83 میلی‌متر	$1/9$ میلی‌متر $7/5$ میلی‌متر
[۱۴] دو	تک‌دوربین روش چشم-روی-دست آزمایش با دوربین‌های متفاوت	$3/53$ میلی‌متر $2/14$ میلی‌متر $1/22$ میلی‌متر
کواریم [۱۲]	تفکیک‌پذیری 640×480 بینایی استریو تنظیم دستی دوربین‌ها فاصله تا دوربین 400 میلی‌متر	1 میلی‌متر 7 میلی‌متر
سواکو [۱۸]	هر پیکسل 0.05 میلی‌متر را نگاشت می‌کند. دو دوربین متعامد با تنظیم دستی روش چشم-روی-دست	$1/29$ میلی‌متر
جازز [۱۳]	تفکیک‌پذیری 1024×1024 دو دوربین متعامد با تنظیم دستی	$1/55$ میکرومتر

۷- بحث و نتیجه‌گیری

در این مقاله طراحی یک سامانه اندازه‌گیری بر پایه علم بینایی ماشین برای اندازه‌گیری موقعیت و جهت‌گیری سکوی متحرک یک ربات موازی با چهار درجه آزادی، شامل سه حرکت خطی و یک حرکت چرخشی، موربررسی قرار گرفت. با نصب یک نشانه مثبتی روی سکوی متحرک و تصویربرداری از آن در دو موقعیت مختلف دلخواه از سکو، با استفاده از یک دوربین استریو، ورودی سامانه طراحی شده به دست می‌آید. برای طراحی سامانه اندازه‌گیری مورد نظر، روش استریوی موازی مورداستفاده بوده و مراحل استخراج ویزگی (پاره‌خطهای نشانه)، تطابق استریو، دنبال کردن تصاویر و بازسازی سه بعدی به کمک روش مثلث‌بندی و درنهایت تخمین موقعیت و جهت‌گیری دو موقعیت موردنظر از سکوی ربات، در نرم‌افزار متلب پیاده‌سازی شده است. با تنظیم دو موقعیت کاملاً مشخص از سکوی متحرک ربات موازی، با استفاده از سنجه‌های دقیق و سپس مقایسه مقدار تنظیم شده، با مقدار حاصل از اندازه‌گیری با استفاده از سامانه، آزمایش سامانه طراحی شده با روش بینایی ماشین، انجام شد؛ خطای آزمایش برای جابجایی $1/74$ میلی‌متر و برای چرخش $2/32$ درجه بوده، که با توجه به شرایط اندازه‌گیری (خصوصاً تفکیک‌پذیری دوربین) و مقایسه آن با روش‌های



شکل ۱۲: تنظیمات و اجزای مورد استفاده در آزمایش سامانه



شکل ۱۳: نمایش تنظیم سنجه همراه با محورهای سکوی متتحرک



الف) موقعیت اول ب) موقعیت دوم

شکل ۱۴: تنظیمات آزمایش اول

Open Journal of Applied Sciences, vol. 3, no. 7, pp. 393-403, 2013.

- [14] G. Du, and P. Zhang, "Online robot calibration based on vision measurement," *Robotics and Computer-Integrated Manufacturing*, vol. 29, no. 6, pp. 484-492, 2013.

[۱۵] شهشهانی، تعیین موقعیت و جهت با استفاده از بینایی استریو، پایان‌نامه کارشناسی ارشد در رشته مهندسی مکاترونیک، دانشگاه

تبریز، ۱۳۸۹.

- [16] M. H. Chiang, H. T. Lin, and C. L. Hou, "Development of a stereo vision measurement system for a 3D three-axial pneumatic parallel mechanism robot arm," *Sensors*, vol. 11 no. 2 , pp. 2257-2281, 2011.

- [17] D. Scaramuzza, S. Pagnottelli, and P. Valigi, "Ball detection and predictive ball following based on a stereoscopic vision system," *Proceedings of the 2005 IEEE International Conference on Robotics and Automation*, pp. 1561-1566, 2005.

- [18] Š. Marko, Š. Bojan, Š. Filip, and J. Bojan, "Calibration of an industrial robot using a stereo vision system," *Procedia Engineering*, vol. 69, pp. 459-463, 2014.

- [19] M. Sonka, V. Hlavac, and R. Boyle, *Image Processing, Analysis, and Machine Vision*, Thomson-Engineering, 2007.

- [20] P. Corke, *Robotics, Vision and Control: Fundamental Algorithms in MATLAB*, Springer Science & Business Media, 2011.

- [21] R. Szeliski, *Computer Vision: Algorithms and Applications*, Springer-Verlag, New York, Inc., 2010.

- [22] D. A. Forsyth, and J. Ponce, *Computer Vision: A Modern Approach*, Prentice Hall Professional Technical Reference, 2002.

- [23] P. Kovesi, *Computer Vision and Image Processing*, Available online at: <http://www.peterkovesi.com/>.

- [24] K. S. Arun, T. S. Huang, and S. D. Blostein, "Least-squares fitting of two 3-D point sets," *IEEE Transactions on Pattern Analysis and Machine Intelligence*, vol. PAMI-9, no. 5, pp. 698-700, 1987.

- [25] P. J. Besl, and H. D. McKay, "A method for registration of 3-D shapes," *IEEE Transactions on Pattern Analysis and Machine Intelligence*, vol. 12, no.2, pp. 239-256, 1992.

- [26] P. Gong, Q. Zhang, and A. Zhang, "Stereo vision based motion estimation for underwater vehicles," *Proc. Intelligent Computation Technology and Automation*, vol. 3, pp. 745-749, 2009.

- [27] J. Y. Bouguet, *Camera Calibration Toolbox for Matlab*, [Online], Available online at: http://www.vision.caltech.edu/bouguetj/calib_doc/index.html#parameters.

- [28] Point Gray, Bumblebee2 1394a, 2015, [Online], Available online at: <http://www.ptgrey.com/bumblebee2-firwire-stereo-vision-camera-systems>.

- [29] .

زیرنویس‌ها

¹ Position

² Orientations

³ vision - based

⁴ eye-on-hand

⁵ Complementary metal–oxide–semiconductor(CMOS)

⁶ Disparity

⁷ Region based

⁸ Feature based

⁹ Charge-coupled device(CCD)

مطرح شده در سایر پژوهش‌های انجام‌شده در این زمینه دقت خوبی دارد. در صورت ارتقاء سیستم سخت‌افزاری استفاده شده، می‌توان به دقت‌های بالاتر نیز دست یافت. همچنین سامانه طراحی شده قابلیت ارتقاء به سامانه بلادرنگ و استفاده در کنترل ربات به روش بینایی ماشین را دارد.

مراجع

- [1] J. P. Merlet, *Parallel Robots*, Springer, Netherlands, 2006.

- [2] H. Zouand, and L. Notash, "Discussions on the camera-aided calibration of parallel manipulators," *Proc. Proceedings of CCToMM Symposium on Mechanisms, Machines, and Mechatronics, Montreal: Canadian Space Agency*, 2001.

- [3] M. Gao, T. Li, and W. Yin, "Calibration method and experiment of Stewart platform using a laser tracker," *IEEE International Conference on System, Man and Cybernetics*, vol. 2793, pp. 2797-2802, 2003.

- [4] H. Zhuang, J. Yan, and O. Masory, "Calibration of Stewart platforms and other parallel manipulators by minimizing inverse kinematic residuals," *Journal of Robotic Systems*, vol. 15, no.7, pp. 395-405, 1998.

- [5] S. Besnard, and W. Khalil, "Calibration of parallel robots using two inclinometers," *Proc. Robotics and Automation, Proceedings 1999 IEEE International Conference*, vol. 1753, pp. 1758-1763, 1999.

- [6] C. Dacheng, Y. Dayongand, and H. Junwei, "Kinematic calibration of parallel robots using CMM," pp. 8514-8518, 2006.

- [7] Y. Takeda, G. Shenand, and H. Funabashi, "A DBB-based kinematic calibration method for in-parallel actuated mechanisms using a Fourier series," *Journal of Mechanical Design*, vol. 126, no. 5, pp. 856-865, 2004.

- [8] N. Andreff, P. Renaud, P. Martinet, and F. O. Pierrot, "Vision-based kinematic calibration of an H4 parallel mechanism: practical accuracies," *Industrial Robot: An International Journal*, vol. 31, no. 3, pp. 273-283, 2004.

- [9] P. Maric, and V. Djalic, "Choice of window size in calibrating the geometry of manipulators based on the regions correlation," *Electronics*, 2011.

[۱۰] رسول قربانی و حمید ابریشمی مقدم، «استفاده از بینایی استریو به منظور ارائه یک سامانه واقعیت افزوده مبتنی بر بینایی»، مجله مهندسی برق دانشگاه تبریز، دوره ۴۲، شماره ۱، صفحه ۱۱-۱، ۱۳۹۱.

[۱۱] مرتضی نصیری و علیرضا بهزاد، «استخراج و بازسازی خودکار اطلاعات سه‌بعدی زمین فوتbal در تصاویر تک دوربینی کالیبره نشده»، مجله مهندسی برق دانشگاه تبریز، دوره ۴۴، شماره ۴، صفحه ۱۳۹۳، ۱۳۹۳-۶۴-۵۵.

- [12] M. H. Korayem, M. Irani, and A. Hashemi, "Application of stereo vision on determination of end-effector position and orientation of manipulators," *Journal of Control Engineering and Technology*, vol. 4, no. 1, pp. 9-16, 2014.

- [13] A. Janz, C. Pape, and E. Reithmeier, "Position determination of a robot end-effector using a 6D-measurement system based on the two-view vision,"

-
- ¹⁰ Pinhole model
 - ¹¹ Principle point
 - ¹²Intrinsic parameter
 - ¹³Extrinsic parameter
 - ¹⁴Canny
 - ¹⁵ Epipolar line
 - ¹⁶ Triangulation
 - ¹⁷ CTF (Coarse-To-Fine)
 - ¹⁸ Bumblebee-2
 - ¹⁹ Triclops
 - ²⁰ Gauge block

Archive of SID